



**$1\lambda^3\sigma^2,6\lambda^3\sigma^2$ -Diphospho-1,2,4,5-hexatetraen  
aus 1,6-Di-H-1,6-diphosphino-2,4-hexadiin**

Gottfried Märkl\* und Rüdiger Hennig

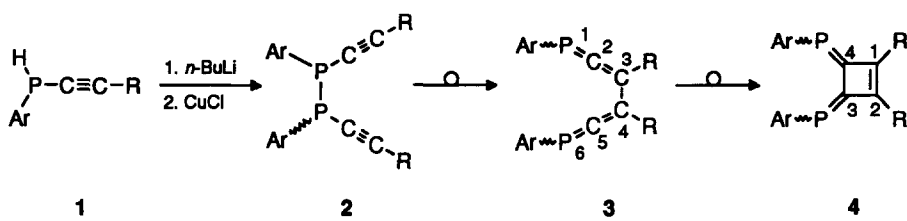
Institut für Organische Chemie der Universität Regensburg, D-93040 Regensburg

Heinrich Nöth und Martin Schmidt

Institut für Anorganische Chemie der Universität München, D-80333 München

**Abstract:** 1,6-Di-H-1,6-diphosphino-2,4-hexadiyne **5** undergoes a base-catalyzed heteropropargylic rearrangement to give 1,6-diphosphahexatetraene **3a**, which forms stereoselective 3,4-diphosphamethylene cyclobutene **4a** by valence isomerisation.

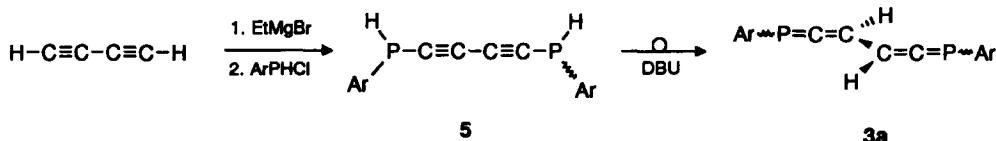
Vor kurzem berichteten wir über die oxidative Kupplung der sekundären Alkinylphosphane **1** zu den Diphosphanen **2**, die in Abhängigkeit vom Substituenten R bereits bei Raumtemperatur oder bei höheren Temperaturen (R = SiMe<sub>3</sub>, tBu) der Hetero-Cope-Umlagerung zu den Diphosphahexatetraenen **3** unterliegen, die ihrerseits zu den 3,4-Diphosphamethylen-cyclobutenen **4** valenzisomerisieren<sup>1, 2</sup>:



$\text{Ar} = 2,4,6\text{-Tri-tert-butylphenyl}$ ; **a**, R = H; **b**, R = SiMe<sub>3</sub>

Versuche, die "Grundkörper" **2a**, **3a**, **4a** aus **1a** darzustellen, waren nicht erfolgreich. Bei der oxidativen Kupplung von **1a** kann neben überwiegend braunen Zersetzungprodukten im <sup>31</sup>P-NMR-Spektrum nur *E,E*-**4a** in 2proz. Anteil nachgewiesen werden. Die Desilylierung von **2b** (R = SiMe<sub>3</sub>) mit methanolischer KOH-Lösung bei Raumtemperatur in THF liefert **3a** in 19proz. Ausbeute<sup>3</sup>.

Wir beschreiben hier die Bildung des 1,6-Diphospho-1,2,4,5-hexatetraens **3a** durch baseninduzierte Heteropropargylumlagerung von 1,6-Di-H-1,6-diphosphino-2,4-hexadiin (**5**):

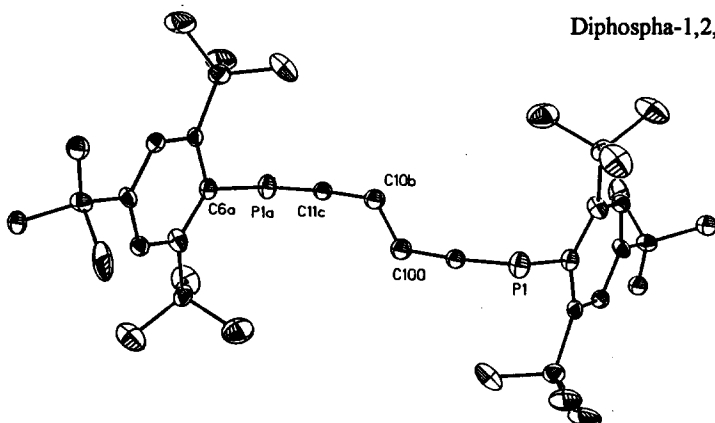


Das Diphosphin **5** ist zugänglich aus Butadiin<sup>4)</sup> (Dehydrochlorierung von 1,4-Dichlorbutin mit KOH/H<sub>2</sub>O <sup>5)</sup>, Sdp. 10 °C, Ausb. 35 %), das nach Grignardierung mit EtMgBr in THF bei -78 °C mit ArPHCl <sup>6)</sup> umgesetzt wird. Bei sofortiger Aufarbeitung wird **5** in 43proz. Ausb. erhalten <sup>7)</sup>.

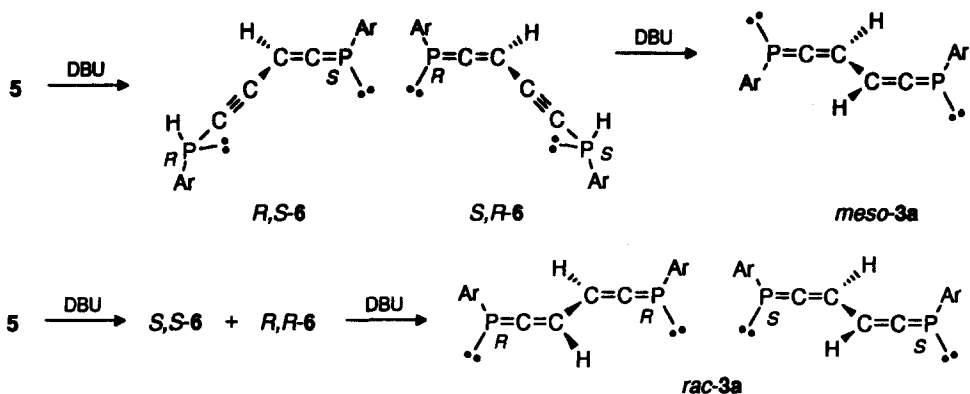
**5** (Racemat und *meso*-Verbindung im Verhältnis 1:1): farblose, faserige Nadeln (aus Petrolether/Ethanol), die sich ab 147 °C zersetzen; <sup>31</sup>P-<sup>{1}</sup>H-NMR (162 MHz, CDCl<sub>3</sub>): δ = -97.92, -97.95; <sup>1</sup>H-NMR (400 MHz, CDCl<sub>3</sub>): δ = 1.304 (s, p-<sup>t</sup>Bu), 1.306 (s, p-<sup>t</sup>Bu), 1.580 (s, o-<sup>t</sup>Bu), 5.82 (d, <sup>1</sup>J(P,H) = 252.0 Hz, P-H), 7.44, 7.45 (2 Doublets, <sup>4</sup>J(P,H) = 2.2 Hz, <sup>4</sup>J(P,H) = 2.3 Hz, arom H).

Zur 1,3-H-Verschiebung von **5** in **3a** läßt man das 1,6-Diphosphahexadiin **5** in CH<sub>2</sub>Cl<sub>2</sub> mit 10 Mol % DBU (1,5-Diazabicyclo[5.4.0]-undec-7-en) 4.5 h bei -78 °C stehen. Nach dem Abziehen des Lösungsmittels bei Raumtemperatur kristallisiert aus dem dunklen Öl beim Versetzen mit wenig Petrolether/Ethanol **6** als schwach gelbes Produkt aus (63 %). Aus einer CHCl<sub>3</sub>-Lösung des Rohprodukts scheiden sich beim Einengen farblose Kristalle ab, (Schmp. 195-196 °C) bei denen es sich laut Röntgenstrukturanalyse <sup>8)</sup> (Abb. 1 zeigt eine Orientierung der an C11, C10 fehlgeordneten C-Kette) um das *meso*-1λ<sup>3</sup>σ<sup>2</sup>,6λ<sup>3</sup>σ<sup>2</sup>-Diphospha-1,2,4,5-hexatetraen (*meso*-**3a**) handelt, das im Kristall in der *s-trans*-Konformation vorliegt. Aus der Mutterlauge wird nach Chromatographie (Kieselgel/Petrolether) ein gelbes Öl erhalten (färbt sich beim Einengen dunkel), das im wesentlichen aus dem racemischen 1λ<sup>3</sup>σ<sup>2</sup>,6λ<sup>3</sup>σ<sup>2</sup>-Diphospha-1,2,4,5-hexatetraen (*rac*-**3a**) besteht (12%)<sup>9)</sup>.

Abb. 1: Kristallstruktur von *meso*-1λ<sup>3</sup>σ<sup>2</sup>,6λ<sup>3</sup>σ<sup>2</sup>-Diphospha-1,2,4,5-hexatetraen (**3a**).



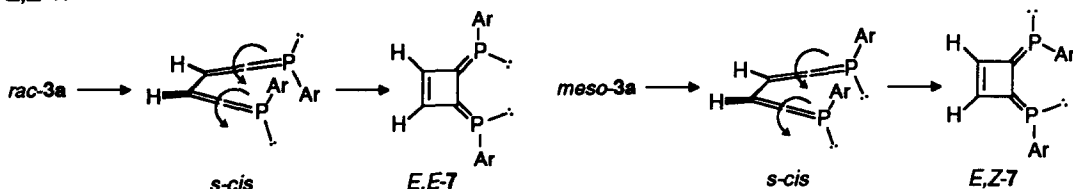
Die <sup>31</sup>P-NMR-spektroskopische Verfolgung der Umlagerung von **5** bei 25 °C in CDCl<sub>3</sub> (Molverhältnis 5/DBU = 3:1) zeigt, daß die Bildung von **3a** nach wenigen Minuten vollständig abgelaufen ist. Bei der Umsetzung von **5** mit 10-20 Millimoläquivalenten DBU werden intermedial die Allenine **6** als diastereomere Enantiomerenpaare *S,R*-**6**, *R,S*-**6** (*meso*-**6**) und *R,R*-**6**, *S,S*-**6** (*rac*-**6**) beobachtet. (δ <sup>31</sup>P(Allenphosphor) = 68.15, 68.38; δ <sup>31</sup>P (Phosphanphosphor) = -97.33).



*meso*-3a;  $^{31}\text{P}$ -{ $^1\text{H}$ }-NMR (162 MHz,  $\text{CDCl}_3$ ):  $\delta = 69.40$ ;  $^1\text{H}$ -NMR (400 MHz,  $\text{CDCl}_3$ ):  $\delta = 1.32$  (s, p- $t\text{Bu}$ ), 1.58 (s, o- $t\text{Bu}$ ), 6.22 (AA'XX'-Spektrum,  $^3\text{J}(\text{P},\text{H}) = 26.1$  Hz,  $^4\text{J}(\text{P},\text{H}) = 0.4$  Hz,  $^3\text{J}(\text{H},\text{H}) = 11.7$  Hz,  $^5\text{J}(\text{P},\text{P}) = 4.0$  Hz,  $=\text{C}=\text{C}-\text{H}$ ), 7.40 (d,  $^4\text{J}(\text{P},\text{H}) = 1.7$  Hz, arom  $\text{H}$ );  $^{13}\text{C}$ -NMR (100 MHz,  $\text{CDCl}_3$ ):  $\delta = 31.32$  (s, p-C( $\text{CH}_3$ ) $_3$ ), 33.17 (pt,  $^4\text{J}(\text{P},\text{C}) = 7.0$  Hz, o-C( $\text{CH}_3$ ) $_3$ ), 34.98 (s, p-C( $\text{CH}_3$ ) $_3$ ), 38.06 (s, o-C( $\text{CH}_3$ ) $_3$ ), 106.51 (dd,  $^2\text{J}(\text{P},\text{C}) = 15.9$  Hz,  $^3\text{J}(\text{P},\text{C}) = 12.8$  Hz,  $\text{P}=\text{C}=\text{C}$ ), 122.13 (s, arom.-C-H), 130.14 (dd,  $^1\text{J}(\text{P},\text{C}) = 64.5$  Hz,  $^6\text{J}(\text{P},\text{C}) = 3.0$  Hz, arom C-P), 149.90 (s, arom C-p-C( $\text{CH}_3$ ) $_3$ ), 153.51 (s, arom C-o-C( $\text{CH}_3$ ) $_3$ ), 241.41 (dd,  $^2\text{J}(\text{P},\text{C}) = 24.1$  Hz,  $^4\text{J}(\text{P},\text{C}) = 3.0$  Hz, P=C=C).

*rac*-3a;  $^{31}\text{P}$ -{ $^1\text{H}$ }-NMR (162 MHz,  $\text{CDCl}_3$ ):  $\delta = 70.0$ ;  $^1\text{H}$ -NMR (400 MHz,  $\text{CDCl}_3$ ):  $\delta = 1.28$  (s, p- $t\text{Bu}$ ), 1.55 (s, o- $t\text{Bu}$ ), 6.23 (AA'XX'-Spektrum,  $^3\text{J}(\text{P},\text{H}) = 25.8$  Hz,  $^4\text{J}(\text{P},\text{H}) = 0.7$  Hz,  $^3\text{J}(\text{H},\text{H}) = 10.3$  Hz,  $^5\text{J}(\text{P},\text{P}) = 0.6$  Hz,  $=\text{C}=\text{C}-\text{H}$ ), 7.36 (d,  $^4\text{J}(\text{P},\text{H}) = 1.6$  Hz, arom  $\text{H}$ );  $^{13}\text{C}$ -NMR (100 MHz,  $\text{CDCl}_3$ ):  $\delta = 31.28$  (s, p-C( $\text{CH}_3$ ) $_3$ ), 33.09 (pt,  $^4\text{J}(\text{P},\text{C}) = 7.6$  Hz, o-C( $\text{CH}_3$ ) $_3$ ), 34.96 (s, p-C( $\text{CH}_3$ ) $_3$ ), 38.07 (s, o-C( $\text{CH}_3$ ) $_3$ ), 106.67 (dd,  $^2\text{J}(\text{P},\text{C}) = 15.0$  Hz,  $^3\text{J}(\text{P},\text{C}) = 11.8$  Hz, P=C=C), 122.24 (s, arom-C-H), 130.08 (dd,  $^1\text{J}(\text{P},\text{C}) = 64.1$  Hz,  $^6\text{J}(\text{P},\text{C}) = 2.6$  Hz, arom C-P), 149.93 (s, arom C-p-C( $\text{CH}_3$ ) $_3$ ), 153.45 (m, arom C-o-C( $\text{CH}_3$ ) $_3$ ), 241.44 (dd,  $^2\text{J}(\text{P},\text{C}) = 24.6$  Hz,  $^4\text{J}(\text{P},\text{C}) = 4.0$  Hz, P=C=C).

Das 1,6-Diphospha-1,2,4,5-hexatetraen *meso*-3a (Schmp. 195-196 °C) ist auch in Lösung relativ stabil. Erst in siedendem Toluol (große Verdünnung, Reaktionszeit 6 h, Lichtauschluß!) unterliegt *meso*-3a quantitativ der konrotatorischen elektrocyclischen Reaktion zum 3,4-Bisphosphiniden-cyclobuten *E,Z*-7 (bei Raumtemperatur verläuft die Cyclisierung wesentlich langsamer). Nach 43 Tagen sind nur 18 % von *meso*-3a zu *E,Z*-7 isomerisiert. Die elektrocyclische Reaktion des verunreinigten *rac*-3a liefert unter analogen Reaktionsbedingungen *E,E*-7.



Mit den elektrocyclischen Reaktionen von *meso*-3a zu *E,Z*-7 und *rac*-3a zu *E,E*-7 ist bewiesen, daß diese Valenzisomerisierungen entsprechend den Woodward-Hoffmann-Regeln verlaufen.

*E,Z-7*; Schmp. 148–150 °C (Zers.), schwach gelbe Kristalle <sup>3</sup>), <sup>31</sup>P-<sup>{1}H</sup>-NMR (162 MHz, CDCl<sub>3</sub>): δ = 176.9, 188.7 (2 Doublets, <sup>3</sup>J(P,P) = 11.2 Hz); <sup>1</sup>H-NMR (400 MHz, CDCl<sub>3</sub>): δ = 1.28, 1.31 (2 Singulets, p-<sup>t</sup>Bu), 1.34, 1.57 (2 Singulets, o-<sup>t</sup>Bu), 5.93 (m, <sup>3</sup>J(H,H) = 2.1 Hz, (E) =C-H), 7.11 (m, <sup>3</sup>J(H,H) = 2.1 Hz, (Z) =C-H), 7.28, 7.36 (2xd, <sup>4</sup>J(P,H) = 0.7 Hz, <sup>4</sup>J(P,H) = 1.3 Hz, arom. H); <sup>13</sup>C-NMR (100 MHz, CDCl<sub>3</sub>): δ = 31.30, 31.50 (2 Singulets, p-C(CH<sub>3</sub>)<sub>3</sub>), 32.68, 33.79 (2 Doublets, <sup>4</sup>J(P,C) = 7.6 Hz, <sup>4</sup>J(P,C) = 7.1 Hz, o-C(CH<sub>3</sub>)<sub>3</sub>), 34.83, 34.86 (2 Singulets, p-C(CH<sub>3</sub>)<sub>3</sub>), 38.00, 38.03 (2 Singulets, o-C(CH<sub>3</sub>)<sub>3</sub>), 121.07, 121.22 (2 Singulets, arom.-C-H), 134.47, 136.55 (2 Doublets, <sup>1</sup>J(P,C) = 52.6 Hz, <sup>1</sup>J(P,C) = 60.0 Hz, arom. C-P), 146.87, 146.90 (2xdd, <sup>2</sup>J(P,C) = 41.0 Hz, <sup>3</sup>J(P,C) = 20.8 Hz, <sup>2</sup>J(P,C) = 36.9 Hz, <sup>3</sup>J(P,C) = 23.8 Hz, P=C-C), 149.07, 150.48 (2 Singulets, arom. C-p-C(CH<sub>3</sub>)<sub>3</sub>), 154.16, 155.13 (s, d, <sup>2</sup>J(P,C) = 2.6 Hz, arom. C-o-C(CH<sub>3</sub>)<sub>3</sub>), 178.31, 181.10 (2xdd, <sup>1</sup>J(P,C) = 57.6 Hz, <sup>2</sup>J(P,C) = 18.2 Hz, <sup>1</sup>J(P,C) = 47.5 Hz, <sup>2</sup>J(P,C) = 19.5 Hz, P=C-C).  
*E,E-7*; Schmp. 192–194 °C (Zers.), farblose Kristalle, <sup>31</sup>P-<sup>{1}H</sup>-NMR (162 MHz, CDCl<sub>3</sub>): δ = 169.8; <sup>1</sup>H-NMR (400 MHz, CDCl<sub>3</sub>): δ = 1.29 (s, p-<sup>t</sup>Bu), 1.48 (s, o-<sup>t</sup>Bu), 5.81 (s, =C-H), 7.33 (s, arom. H); <sup>13</sup>C-NMR (100 MHz, CDCl<sub>3</sub>): δ = 31.33 (s, p-C(CH<sub>3</sub>)<sub>3</sub>), 33.10 (s, o-C(CH<sub>3</sub>)<sub>3</sub>), 34.90 (s, p-C(CH<sub>3</sub>)<sub>3</sub>), 37.86 (s, o-C(CH<sub>3</sub>)<sub>3</sub>), 120.87 (s, arom-C-H), 135 (m, X-Teil, ABX-Spektrum, arom C-P), 146.78 (m, X-Teil, ABX-Spektrum, P=C-C), 149.35 (s, arom C-p-C(CH<sub>3</sub>)<sub>3</sub>), 154.74 (m, arom C-o-C(CH<sub>3</sub>)<sub>3</sub>), 182.19 (X-Teil, ABX-Spektrum, P=C-C).

#### Literatur

1. G. Märkl, P. Kreitmeier, H. Nöth, K. Polborn, *Angew. Chem.* 1990, **102**, 958; *Angew. Chem. Int.Ed. Engl.* 1990, **29**, 927. 2. siehe auch: M. Yoshifuji, K. Toyota, M. Murayama, H. Yoshimura, A. Okamoto, K. Hirotsu, S. Nagase, *Chem. Lett.* 1990, 2195. R. Appel, V. Winkhaus, F. Knoch, *Chem. Ber.* 1987, **120**, 125; Dissertation R. Hennig, Universität Regensburg 1994. 3. K. Toyota, K. Tashiro, M. Yoshifuji, S. Nagase, *Bull Chem. Soc. Jpn.* 1992, **65**, 2297–2299; die Autoren beschreiben die Desilylierung von 2b zu 3b mit K<sub>2</sub>CO<sub>3</sub> / MeOH in 6-proz. Ausb. 4. L. Brandsma, *Preparative Acetylenic Chemistry*, Elsevier, Amsterdam, 1988, S. 179. 5. U. Niedballa in *Methoden der Organischen Chemie (Houben-Weyl)* Band V/2a (Hrsg.: E. Müller), Thieme, Stuttgart, 1977, S. 922. 6. C. Couret, J. Escudie, H. Ranaivonjatovo, J. Satgé, *Organometallics* 1986, **5**, 113; S. Reithinger, Dissertation 1990, Universität Regensburg. 7. P. Kreitmeier, Dissertation Universität Regensburg 1990. 8. C<sub>40</sub>H<sub>60</sub>P<sub>2</sub>, Molmasse 602.82, monoklin, a = 10.554(2), b = 10.929(2), c = 16.711(4) Å, α = 90.00, β = 90.03(2), γ = 90.00°; V = 1927.5(7) Å<sup>3</sup>; Z = 2; d = 1.035 g/cm<sup>3</sup>, μ = 0.137 mm<sup>-1</sup>; F(000) = 656; ω-Scan, 2θ = 2.44 – 48.00°; Index ranges -11 < h < 12, 0 < k < 12, -1 < l < 19; gemessene Reflexe 3433, davon 2976 unabhängig. 1810 beobachtete Reflexe (F > 4σ(F)); Strukturlösung mit direkten Methoden (SHELXTL-Plus), Verfeinerung mit SHELX 93 mit F<sup>2</sup>; Gewichtsschema w<sup>-1</sup> = σ<sup>2</sup>F<sub>o</sub> + (0.0784P)<sup>2</sup> + 0.7178P, P = (F<sub>o</sub><sup>2</sup> + 2F<sub>c</sub><sup>2</sup>)/3; Daten: Parameter = 12.6 : 1 (7.7 : 1[F > 4σ(F)]); R<sub>1</sub> = 0.0576, wR<sub>2</sub> = 0.1397; GOOF = 1.032. Die untersuchten Kristalle waren verzwilligt. In die Verfeinerung wurde die Rotationsfehlordnung der tert-Butylgruppen sowie die Fehlordnung der zentralen 4 C-Atome der Kohlenstoffkette (C10a; C10b; C100, C10) mit einem Besetzungs faktor von 0.5 miteinbezogen. Weitere Einzelheiten zur Strukturbestimmung sind im Fachinformationszentrum Karlsruhe, Gesellschaft für wissenschaftlich-technische Information mbH, D-76344 Eggenstein-Leopoldshafen hinterlegt und können unter Angabe der Hinterlegungsnummer (CSD-58996), der Namen der Autoren und des Zeitschriftenzitats angefordert werden. 9. Neben der zweifachen 1,3-H-Verschiebung von 5 zu 3 entsteht in ca. 13-proz. Ausb. ein Gemisch der 1λ<sup>3</sup>σ<sup>2</sup>, 6λ<sup>3</sup>σ<sup>2</sup>-Diphospho-1,2,3,5-hexatetraene (Ar ~ P = C = C = CH – CH = P ~ Ar) als Ergebnis einer 1,5H- und einer 1,3H-Verschiebung (δ(<sup>31</sup>P) = 297.6 (s), 307.8 (d), J(P/P) = 69.4 Hz), 311.7 (d, J(P/P) = 69.4 Hz), 312.9 (s)).